

ОСНОВНІ ДЕФОРМАЦІЇ КАНТЕЛІВЕРА МЕХАНІЧНОГО ТИПУ

© Дупак Б., 2011

Розглянуто основні деформації кантелівера механічного типу за дії вертикальної, подовжньої і поперечної сил.

Ключові слова: кантелівер, атомно-силовий мікроскоп, зонд, мікроскоп.

This paper is considered the main deformation of cantilever of mechanical type action under the vertical, longitudinal and lateral forces.

Keywords: cantilever, atomic force microscope, probe, microscope.

Вступ

Кантелівер – це найпоширеніший датчик силової взаємодії в атомно-силовій мікроскопії (АСМ). Будь-яку інформацію про поверхню атомно-силовий мікроскоп отримує завдяки механічним відхиленням балки кантелівера, які реєструються оптичною системою. Для безконтактної мікроскопії часто використовують резонатори камертонного типу замість кантеліверів. У такому сенсорі стежать за зміною резонансної частоти у разі появи силової взаємодії зонда з поверхнею [1].

Зазвичай кантелівер є балкою у вигляді прямокутного паралелепіпеда (рис. 1а), що має довжину l , товщину t ($t \ll l$) і ширину w ($w \ll l$) або у вигляді двох балок, сполучених під деяким кутом (рис. 1б), із зондом (вістря) завдовжки l_{tip} на одному з її кінців. Далі детально розглянемо прямокутний кантелівер. Геометричні розміри, що характеризують його, показано на рис. 1а. З поверхнею взаємодіє вістря зонда. Вважатимемо, що саме до його вершини прикладена зосереджена сила, що діє з боку досліджуваного зразка [3].

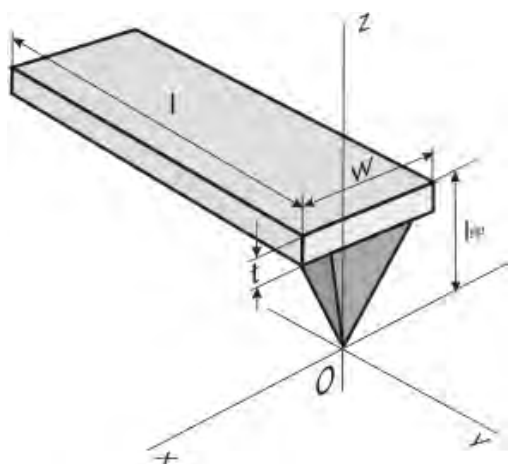


Рис. 1а. Прямокутний кантелівер із зондом

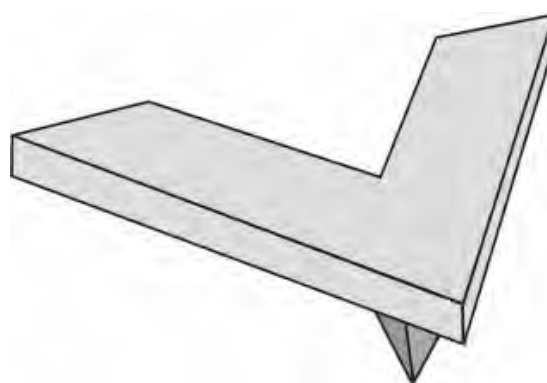


Рис. 1б. Трикутний кантелівер із зондом

Сила, що діє на зонд, часто має не лише вертикальну складову, але і компоненти, які лежать у горизонтальній площині. Тому вістря кантелівера може відхилитися не лише уздовж осі Oz , але й у двох інших напрямках: Ox і Oy (див. рис. 1а). Вертикальну складову назвемо нормальною силою, поперечну F_z і поздовжню F_y – латеральними силами.

Оскільки в АСМ про силу дії зразка на кантелівер судять за деформацією останнього, то для визначення сили необхідно знати жорсткість деформацій кантелівера у різних напрямках. Вважаємо, що вектор відхилення вістря кантелівера Δ (що має компоненти $\Delta x, \Delta y, \Delta z$) пов'язаний з прикладеною до зонда силою \mathbf{F} лінійно, тобто за законом Гука [2].

$$\Delta = \mathbf{C}^{-1}\mathbf{F}. \quad (1)$$

"Коефіцієнтом" пропорційності є тензор другого рангу \mathbf{C} , який назвемо тензором зворотної жорсткості. Ця величина містить всю інформацію про пружні властивості кантелівера.

Аби знайти компоненти тензора \mathbf{C} , необхідно вирішити завдання про статичні деформації кантелівера під дією сил, направлених по різних осях. Для наочності запишемо формулу (1) у матричному вигляді:

$$\begin{pmatrix} \Delta x \\ \Delta y \\ \Delta z \end{pmatrix} = \begin{pmatrix} c_{xx} & c_{xy} & c_{xz} \\ c_{yx} & c_{yy} & c_{yz} \\ c_{zx} & c_{zy} & c_{zz} \end{pmatrix} \begin{pmatrix} F_x \\ F_y \\ F_z \end{pmatrix}. \quad (2)$$

Зазначимо, що оптична система реєструє не відхилення вістря кантелівера, а нахил верхньої поверхні кантелівера поблизу його вільного кінця. Безпосередньо вимірюються два кути: відхилення нормалі від вертикалі в площині Oyz (кута α) і в ортогональному напрямі – площині Oxz (кута β).

Для зручності розрахунків можна замість (2) записати матричне співвідношення, що зв'язує кути α і β безпосередньо з компонентами сили \mathbf{F} .

$$\begin{pmatrix} \alpha \\ \beta \end{pmatrix} = \begin{pmatrix} b_{\alpha x} & b_{\alpha y} & b_{\alpha z} \\ b_{\beta x} & b_{\beta y} & b_{\beta z} \end{pmatrix} \begin{pmatrix} F_x \\ F_y \\ F_z \end{pmatrix}. \quad (3)$$

Проте введена матриця на відміну від тензора \mathbf{C} не містить повної інформації про пружні властивості кантелівера.

Відхилення за дії вертикальної сили

Визначимо величину і напрям деформації за дії вертикальної сили F_z . Розв'язанням цієї задачі можна знайти останній стовпець тензора \mathbf{C} .

$$\Delta x = c_{xz} F_z \quad (4)$$

$$\Delta y = c_{yz} F_z \quad (5)$$

$$\Delta z = c_{zz} F_z. \quad (6)$$

За дії вертикальної сили, що відхиляє, виникає вертикальний вигин z -типу. Цей тип деформації показано на рис. 2.

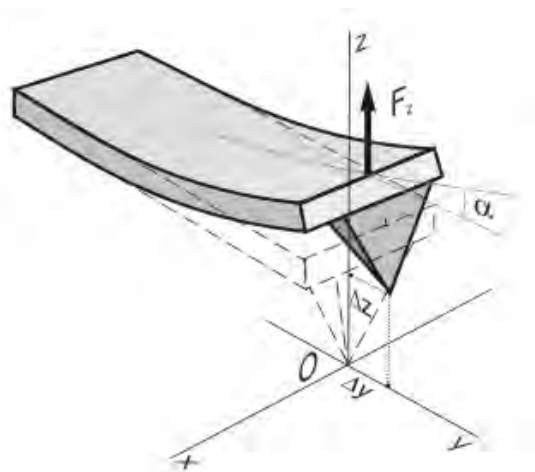


Рис. 2. Вертикальний вигин z -типу

Виділимо з балки двома поперечними перетинами елемент завдовжки L і розглянемо його деформацію (рис. 2). Оскільки цей елемент зігнутий, то матеріал на зовнішній стороні вигину розтягнутий, а на внутрішній стороні стиснений. Але є нейтральна поверхня, яка і не стиснена, і не розтягнута. Для спрощення обчислень вважатимемо, що поперечні перетини балки залишаються плоскими і нормальними до її деформованої осі (прямий чистий вигин балки постійного перетину). Останнє припущення справедливе за умови $l/t \geq 8$, яка виконується у межах цього випадку [4].

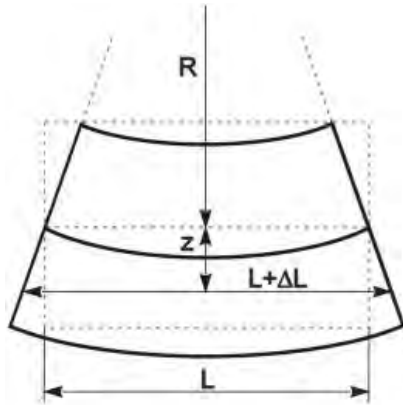


Рис. 3а. Маленький відрізок зігнутої балки

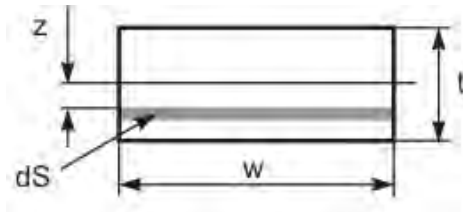


Рис. 3б. Поперечний перетин балки

Для чистого вигину нейтральна поверхня проходить через центр тяжіння поперечного перетину, тобто в нашому випадку подовжня вісь симетрії паралелепіпеда належить нейтральній поверхні. Подовжнє подовження матеріалу ΔL пропорційне відстані z від нейтральної поверхні: $\Delta L/L = z/R$ (рис. 2). Отже, за законом Гука сила, що діє на одиничну площу в деякій маленькій смужці площею dS поблизу z , дорівнює $dF = EzdS/R$ де E – модуль Юнга, R – радіус кривизни балки. Якщо розглянути будь-який поперечний перетин, то сили, що діють на нього, напрямлені в один бік вище за нейтральну поверхню і в інший – нижче за неї. Тобто існує пара сил, яка створює момент M_z , що вигинає, під яким розуміють момент сил відносно нейтральної лінії:

$$M_z = \int_S z dF = \frac{E}{R} J_z. \quad (7)$$

Величину J_z називають осьовим моментом інерції перетину балки відносно осі, що проходить через його центр мас. Для балки з прямокутним поперечним перетином

$$J_z = \int_S z^2 dS = \frac{wt^3}{12}. \quad (8)$$

Позначимо відхилення в z -напрявленні точки балки на відстані y від закріпленого кінця через $u(y)$. Кривизна кривої $u(y)$ при малих вигинах ($du/dy \ll 1$) задається виразом $1/R(y) = d^2u/dy^2$. Враховуючи (7), момент сил M_z , що вигинає, можна подати як:

$$M_z(y) = EJ_z \frac{d^2u}{dy^2}. \quad (9)$$

З іншого боку, M_z є моментом сил відносно точки v , обумовленим дією сили F_z – $M_{F_z} = F_z(l - y)$ і власною вагою балки – $M_{mg} = -\frac{mg}{l} \int_y^l p dp = -\frac{mg}{2l} (l^2 - y^2)$. Отже, отримуємо рівняння:

$$\frac{d^2u}{dy^2} = \frac{F_z}{EJ_z} (l - y) - \frac{mg}{2lEJ_z} (l^2 - y^2). \quad (10)$$

Інтегруючи його з врахуванням граничних умов, отримуємо розв'язок:

$$u(y) = \frac{F_z}{6EJ_z}(3l-y)y^2 - \frac{mg}{24EJ_z}(6l^2 - y^2)y^2. \quad (11)$$

Відхилення кінця балки Δz (рис. 2):

$$\Delta z = u \Big|_{y=l} = \frac{F_z}{3EJ_z}l^3 - \frac{5mg}{24EJ_z}l^3. \quad (12)$$

Другий доданок – це прогин під дією власної ваги. Для типового кантелівера він становить частки ангстрема і може бути опущений на тлі першого члена, який в АСМ експериментах у сотні разів більший. Залежність (12) є ні що інше, як співвідношення (6), в якому потрібно зробити

$$c_{zz} = \frac{l^3}{3EJ_z} = c. \quad (13)$$

Кут відхилення кінця балки, порахований вже без врахування другого члена в (8):

$$\alpha \approx \operatorname{tg} \alpha = \frac{du}{dy} \Big|_{y=l} = \frac{F_z l^2}{2EJ_z} = \frac{3}{2l} c F_z = \frac{3}{2} \frac{\Delta z}{l}. \quad (14)$$

Коефіцієнт зворотної жорсткості c_{zz} є найбільшим серед останніх компонент тензора C . У формулі (13) для цього параметра введено спеціальне позначення – c без індексів. Саме величину $1/c$ позначено як жорсткість у характеристиках кантелівера, як один з його найважливіших параметрів. Нижче для наочності виділятимемо загальний множник всіх елементів матриці C (2). Для кантелівера з прямокутним поперечним перетином можна переписати (13):

$$c = \frac{4l^3}{Ewt^3}. \quad (15)$$

З формули (14) і геометрії вертикального вигину z -типу (рис. 1) нескладно знайти відхилення вістря зонда, Δy що виникає за дії F_z додатка:

$$\Delta y = \alpha \cdot l_{tip} = \frac{3}{2} \frac{l_{tip}}{l} \Delta z. \quad (16)$$

З (13) і (2) очевидно, що

$$c_{yz} = \frac{3}{2} \frac{l_{tip}}{l} c. \quad (17)$$

Враховуючи, що $\Delta x = 0$, зазначимо:

$$c_{xz} = 0. \quad (18)$$

Нарешті, запишемо компоненти останньої колонки матриці (3). З формул (12–14) можна отримати

$$b_{\alpha z} = \frac{3}{2l} c. \quad (19)$$

Оскільки під дією сили F_z не відбувається нахилу верхньої площини кантелівера у напрямі Oxz , то

$$b_{\beta z} = 0. \quad (20)$$

Відхилення за дії поздовжньої сили

Визначимо величину і напрям деформації за дії поздовжньої сили F_y . Розв'язанням цієї задачі можна знайти середній стовпець тензора C .

$$\Delta x = c_{xy} F_y; \quad (21)$$

$$\Delta y = c_{yy} F_y; \quad (22)$$

$$\Delta z = c_{zy} F_y. \quad (23)$$

Сила, що діє у напрямі осі кантелівера, створює момент, що викликає деформацію, яку назвемо вертикальним вигином у-типу (рис. 4) [2].

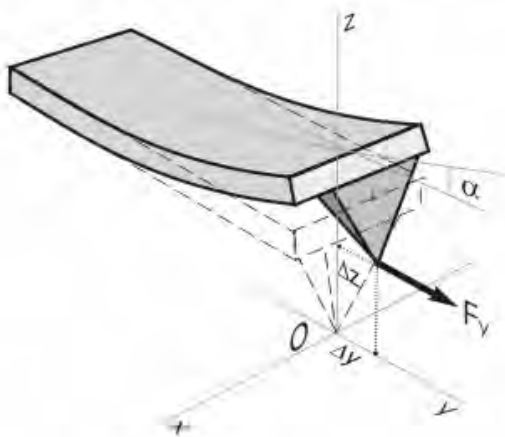


Рис. 4. Вертикальний вигин у-типу

Незважаючи на зовнішню схожість з вертикальним вигином z-типу, в цьому випадку профіль деформації буде іншим. Рівняння, що описує вигин у-типу, має такий вигляд:

$$\frac{d^2 u}{dy^2} = \frac{F_y l_{tip}}{EJ_z}. \quad (24)$$

Граничні ж умови залишаються колишніми: $u|_{y=0} = 0$ і $\frac{du}{dy}|_{y=0} = 0$. Знайти розв'язок просто:

$$u(y) = \frac{F_y l_{tip}}{2EJ_z} y^2. \quad (25)$$

Отже, відхилення вістря по вертикалі за цього типу деформації становитиме

$$\Delta z = u(l) = \frac{F_y l_{tip} l^2}{2EJ_z} = \frac{3 l_{tip}}{2 l} c F_y. \quad (26)$$

Порівнюючи (26) і (23) і виносячи в отриманому виразі загальний множник з (13), отримаємо:

$$c_{zy} = \frac{l_{tip} l^2}{2EJ_z} = \frac{3 l_{tip}}{2 l} c. \quad (27)$$

Кут відхилення кінця балки α дорівнюватиме

$$\alpha = \frac{du}{dy}|_{y=l} = \frac{F_y l_{tip} l}{EJ_z} = \frac{3 l_{tip}}{l^2} c F_y = 2 \frac{\Delta z}{l}. \quad (28)$$

З формули (28) і геометрії вертикального вигину у-типу (рис. 4) нескладно знайти відхилення вістря зонда Δy , що виникає за дії F_y :

$$\Delta y = \alpha l_{tip} = \frac{2 l_{tip}}{l} \Delta z. \quad (29)$$

З (22), (27) і (29) легко отримати:

$$c_{yy} = \frac{2 l_{tip}}{l} c_{zy} = \frac{3 l_{tip}^2}{l^2} c. \quad (30)$$

Отже,

$$c_{xy} = 0. \quad (31)$$

Нарешті, запишемо компоненти середньої колонки матриці (3). За формулами (26–28) можна отримати

$$b_{\alpha y} = \frac{3 l_{tip}}{l^2} c. \quad (32)$$

Оскільки за дії сили F_y не відбувається нахилу верхньої площини кантелівера у напрямі Oxz , то

$$b_{\beta y} = 0. \quad (33)$$

Відхилення за дії поперечної сили

Визначимо величину і напрям деформації за дії поперечної сили. Розв'язанням цієї задачі можна знайти середній стовпець тензора C .

$$\Delta x = c_{xx} F_x; \quad (34)$$

$$\Delta y = c_{yx} F_x; \quad (35)$$

$$\Delta z = c_{zx} F_x. \quad (36)$$

За дії поперечної сили виникає складна деформація, яка є суперпозицією плоского вигину і кручення (рис. 5а і 5б) [2].

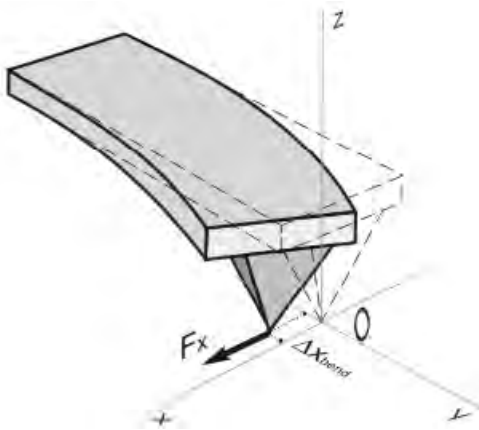


Рис. 5а. Плоский вигин

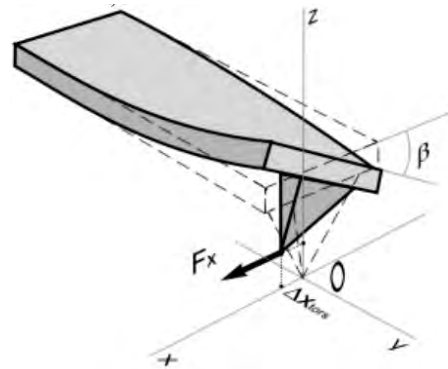


Рис. 5б. Кручення

Зворотну жорсткість плоского вигину (рис. 5а) знайти просто. Ця деформація аналогічна вертикальному вигину z -типу (рис. 2), з тією лише різницею, що в остаточному вираженні для зворотної жорсткості (15) треба поміняти місцями ширину і товщину балки кантелівера ($w \leftrightarrow t$). Тобто

$$c_{bend} = \frac{4l^3}{Ew^3t} = \frac{t^2}{w^2} c. \quad (37)$$

Розв'язання задачі кручення балки прямокутного перетину є непростим. Залежність кута кручення β від моменту, що додається до торця балки, сили M наведемо без виводу:

$$\beta = \frac{3lM}{Gwt^3}, \quad (38)$$

де G – модуль зрушення.

Бічна сила F_x діє на кінець зонда завдовжки l_{tip} , тоді круткий момент рівний $M = F_x l_{tip}$. Своєю чергою, бічний зсув вістря пов'язаний з кутом кручення як $\Delta x_{tors} = \beta l_{tip}$. Відповідно, зворотний коефіцієнт жорсткості:

$$c_{tors} = \frac{\Delta x_{tors}}{F_x} = \frac{3l_{tip}^2 l}{Gwt^3}. \quad (39)$$

Знаючи, що $G = \frac{E}{2(1+\nu)}$, а коефіцієнт Пуассона $\nu \approx 1/3$ (для більшості матеріалів), з врахуванням виразу для c (15), запишемо:

$$c_{tors} \approx \frac{8l_{tip}^2 l}{Ewt^3} = \frac{2l_{tip}^2 l}{l^2} c. \quad (40)$$

Аби знайти результуюче зрушення вістря зонда при суперпозиції плоского вигину і кручення при малих деформаціях, достатньо скласти відповідні відхилення:

$$\Delta x = \Delta x_{bend} + \Delta x_{tors} = c_{bend} F_x + c_{tors} F_x = c_{xx} F_x. \quad (41)$$

Отже, результуюча зворотна жорсткість також буде сумою зворотних жорсткостей плоского вигину і кручення:

$$c_{xx} = \left(\frac{2l_{tip}^2}{l^2} + \frac{t^2}{w^2} \right) c. \quad (42)$$

Звернемо увагу на те, що для більшості кантеліверів зворотна жорсткість плоского вигину c_{bend} (37) виявляється набагато більшою ніж зворотна жорсткість кручення c_{tors} (39), тому зазвичай плоским вигином можна нехтувати. Для стандартного АСМ кантелівера CSC12 з параметрами $l = 90 \mu m$, $l_{tip} = 10 \mu m$, $w = 35 \mu m$, $t = 1 \mu m$ і жорсткістю $1/c = 0,52 N/m$ латеральні константи жорсткості дорівнюють:

$$c_{tors} \approx \frac{1}{40} c \approx 0,05 \frac{m}{N}, \quad c_{bend} \approx \frac{1}{1220} c \approx 0,0016 \frac{m}{N}. \quad (43)$$

Нескладно зазначити, що як при плоскому вигині, так і при крученні, окрім відхилення Δx , виникають деформації Δy і Δz відповідно. Проте величина цих зсувів наступного порядку крихти порівняно з Δx , а зв'язок відхилення з прикладеною силою стає не лінійним, а квадратичним, тобто "негуківським". Покажемо це, наприклад, для кручення.

З рис. 6 видно, що

$$\Delta z = l_{tip} (1 - \cos \beta) \approx l_{tip} \frac{\beta^2}{2}, \quad (44)$$

тоді як

$$\Delta x = l_{tip} \cdot \beta. \quad (45)$$

Оскільки $\beta \ll 1$, то і $\Delta z \ll \Delta x$. Аналогічно при плоскому вигині $\Delta y \ll \Delta x$, тому можна вважати

$$c_{yx} = c_{zx} = 0. \quad (46)$$

Нарешті, запишемо компоненти першої колонки матриці (2). За дії поперечної сили F_x нормаль до верхньої поверхні кантелівера нахиляється в площині Oxz , тому з (11–13) можна вивести

$$b_{\beta x} = \frac{2l_{tip}}{l^2} c. \quad (47)$$

Відповідно, відхилення в напрямі Oyz відсутнє:

$$b_{\alpha x} = 0. \quad (48)$$

Зазначимо, що відмінний від нуля кут β створює лише крутильна деформація, за плоского вигину поверхня кантелівера залишається горизонтальною. Отже, плоский вигин ніяк не може бути зареєстрований – його величину можна обчислити лише за формулами. Проте для визначення поперечної сили F_x в експерименті достатньо реєструвати лише деформацію кручення.

1. Weaver J. M. R., Abraham D. W. High resolution atomic force microscopy potentiometry, *J. Vac. Sci., Technol. B* 9, 2004. 2. Bhushan B. *Springer Handbook of Nanotechnology*, apr. 2007. 3. Albrecht T. R., Akamine S., Carver T. E., Quate C. F. Microfabrication of cantilever styli for the force microscope, *J. Vac. Sci. Technol.*, 2006. 4. Linnemann R., Gotszalk T., Rangelow I. W., Dumania P., Oesterschulze E., *Atomic force microscopy and lateral force microscopy using piezoresistive cantilevers*, 2000.

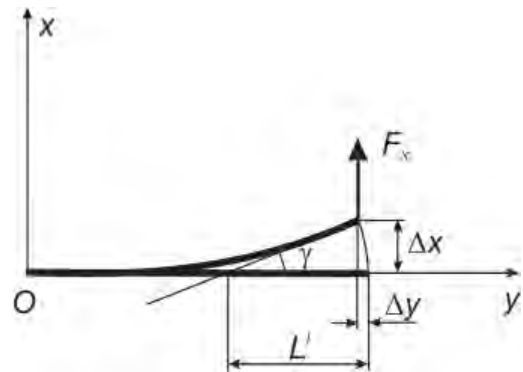


Рис. 6. До обчислення c_{yx}